

مطالعات ریز ساختاری آلومینای ریز دانه محتوی کربن و اکسید منیزیم

مهدی کلانتر

استادیار دانشکده مهندسی مواد - دانشگاه یزد

جک کرامپون

مرکز تحقیقات ساختار و خواص حالت جامد - دانشگاه علوم و تکنولوژی لیل فرانسه

(تاریخ دریافت ۸۱/۸/۲۹، تاریخ تصویب ۱۳/۳/۸۲)

چکیده

جهت تهیه الومینای ریز دانه و عاری از هر گونه رشد دانه غیرنرمال لازم است شرایط خاصی در رابطه با مواد اولیه (پودر میکرونی با خلوص بالا) و شرایط پخت (دما، زمان، فشار مکانیکی و اتمسفر کوره) اعمال شود. بالاترین تراکم پذیری تا حد دانسته تئوری در شرایط زینترینگ تحت بار با فشار مکانیکی $MPa\ 45$ تحت اتمسفر محیط خلا، شرایط دمایی و زمانی 1450 درجه سانتی گراد بمدت 30 دقیقه و در حضور $PPm\ 500$ اکسید منیزیم حاصل میشود. مشاهدات ریز ساختاری وجود ذرات رسوبی ریز که بطور یکنواخت در زمینه پراکنده شده اند را نشان داده که بعنوان موانع رشد دانه عمل مینمایند. از طرفی در شرایط خلا حذف تخلخلها که کنترل کننده سرعت رشد دانه هستند در مراحل اولیه و میانی زینترینگ صورت می پذیرد. اکثریت ذرات رسوبی کربنی بوده که بواسطه نفوذ کربن از سیستم پرس گرم اعم از قالب و سنبه های گرافیتی شکل گرفته اند.

واژه های کلیدی : زینترینگ، آلومینا، اکسید منیزیم، ریزساختار

بدین ترتیب اکسید منیزیم با ایجاد جاهای خالی

باعث افزایش D_b و D_L (به ترتیب ضرایب دیفوزیونی شبکه ای و مرزدانه ای) شده و افزایش سرعت دیفوزیون در الومینا را بدنبال دارد که باعث افزایش تراکم پذیری شده و همینطور به علت محفوظ ماندن ارتباط بین مرز دانه و تخلخل از رشد دانه غیر نرمال جلوگیری مینماید [۴]. از طرف دیگر گفته شده که رشد غیر نرمال دانه های آلومینا معمولاً مربوط به حضور کاتیونهای ناخالصی چون Si و Ca و تشکیل فاز شیشه ای میباشد، در اینجا نیز یونهای منیزیم دخالت نموده و با تشکیل یک محلول جامد تحرک مرز دانه ها را میکاهد. در حقیقت در راستای واکنش بالا جهت خنثی ماندن شبکه، یونهای Si^{4+} وارد شبکه شده و از میزان فازآموف سیلیکات کاسته میشود [۵].

پارامتر مهم دیگر بر روی ریز ساختار و نرخ تراکم پذیری آلومینا و یا هر سرامیک مهندسی حضور تنشهای فشاری و کششی در ضمن زینترینگ تحت بار می باشد که در زیر به آن می پردازیم:

مقدمه تردی همراه با سختی بالای سرامیکها دامنه کاربردی انها را محدود نموده و جهت توسعه ان لازم است چقلمگی یا تافنس^۵ و قابلیت شکل دهنی مکانیکی یا خواص سوپر پلاستیسیته^۶ انها را افزایش داد. برای بهبود خواص مکانیکی پارامترهای زیادی را باید در نظر گرفت، در درجه اول پارامترهای مربوط به پودر مصرفی (خلوص، ترکیب شیمیایی، اندازه و توزیع اندازه ذرات...) بوده بطوریکه امروزه با بکار گرفتن پودرهای ریز میکرونی و با خلوص بالا سرامیکهای نانو با خواص مهندسی بالا توسعه یافته اند. با استفاده از مواد افزودنی مناسب میتوان نرخ تراکم پذیری و سرعت رشد دانه مورد نظر را حاصل نمود. مثلاً در مورد آلومینا با افزودن اکسید منیزیم در حد چند صد PPm میتوان نرخ تراکم پذیری را افزایش و سرعت رشد دانه را محدود نمود. چرا که یونهای منیزیم با نفوذ به مرزهای دانه بعنوان موانع قوی در برابر حرکت مرز دانه ها عمل مینماید. با وارد شدن منیزیم در داخل شبکه آلومینا واکنش زیر را داریم:



خالی و سطوح محدب در گردنے بین دو ذره به عنوان منبع جذب جاهای خالی در نظر گرفته شده اند. بدین ترتیب جریانی از جاهای خالی از مرز دانه ها به سطوح محدب در گردنه و جریان ماده در جهت مخالف تراکم پذیری نمونه پودری فشرده شده را سبب میشود.

$$\Delta C/C_0 = -[P_{\text{eff}} \Omega / (KT)] \quad (3)$$

$\Delta C/C_0$: تغییرات غلظت جاهای خالی T : دما به کلوین Ω : حجم اتمی K : ثابت بولتزمن وجود یک تنفس فشاری بر روی مرز دانه باعث شده جریان نفوذ جاهای خالی از مرز دانه ها به سطوح محدب گردنه که تحت کشش می باشند شتاب پیدا کند. لازم به ذکر است که در این مدل سطح مرز دانه ها مسطح فرض شده است. در حالتی دیگر می توان یک جریان نفوذی از جاهای خالی و جریان ماده در جهت خلاف آن بین سطوح محدب در گردنه و منطقه تماس بین دو ذره (سطوح مقعر) در نظر گرفت که شدت این جریان بستگی به اختلاف فشار بخار بین دو نقطه بواسطه اختلاف انحنا و نتیجتاً اختلاف انرژی سطح دارد:

$$\Delta C/C_0 = 2\gamma\Omega/(RKT) \quad (4)$$

R : شعاع انحنا یک تخلخل کروی حضور تنفس فشاری بر روی سطوح مقعر و نشنهای کششی بر روی سطوح محدب گرادیان غلظت جاهای خالی بین دو نقطه را افزایش داده و نتیجتاً سرعت تراکم پذیری نسبت به حالت زینترینگ بدون بار بطور قابل توجهی بالاتر خواهد بود و با دمای کمتری میتوان به دانسیته معینی رسید.

پارامتر دیگر مربوط به تکنیکهای پخت و قابلیت کنترل عواملی چون دما، تنفس، اتمسفر میباشد. در این مطالعه با استفاده از دستگاه پخت تحت بار، تراکم پذیری پودر آلومینا محتوى مقدار کمی اکسید منیزیم مورد بررسی قرار گرفته و در ادامه مطالعات ریز ساختاری نمونه های پخت شده قبل و بعد از عملیات اچینگ حرارتی^۷ انجام گرفته است.

نرخ تراکم پذیری یک پودر در ضمن یک سیکل ایزوترم و در حضور بار مکانیکی (زینترینگ تحت بار) تقریباً از رابطه زیر پیروی مینماید [۱]:

$$D(t) = D_0 + K \ln t \quad (1)$$

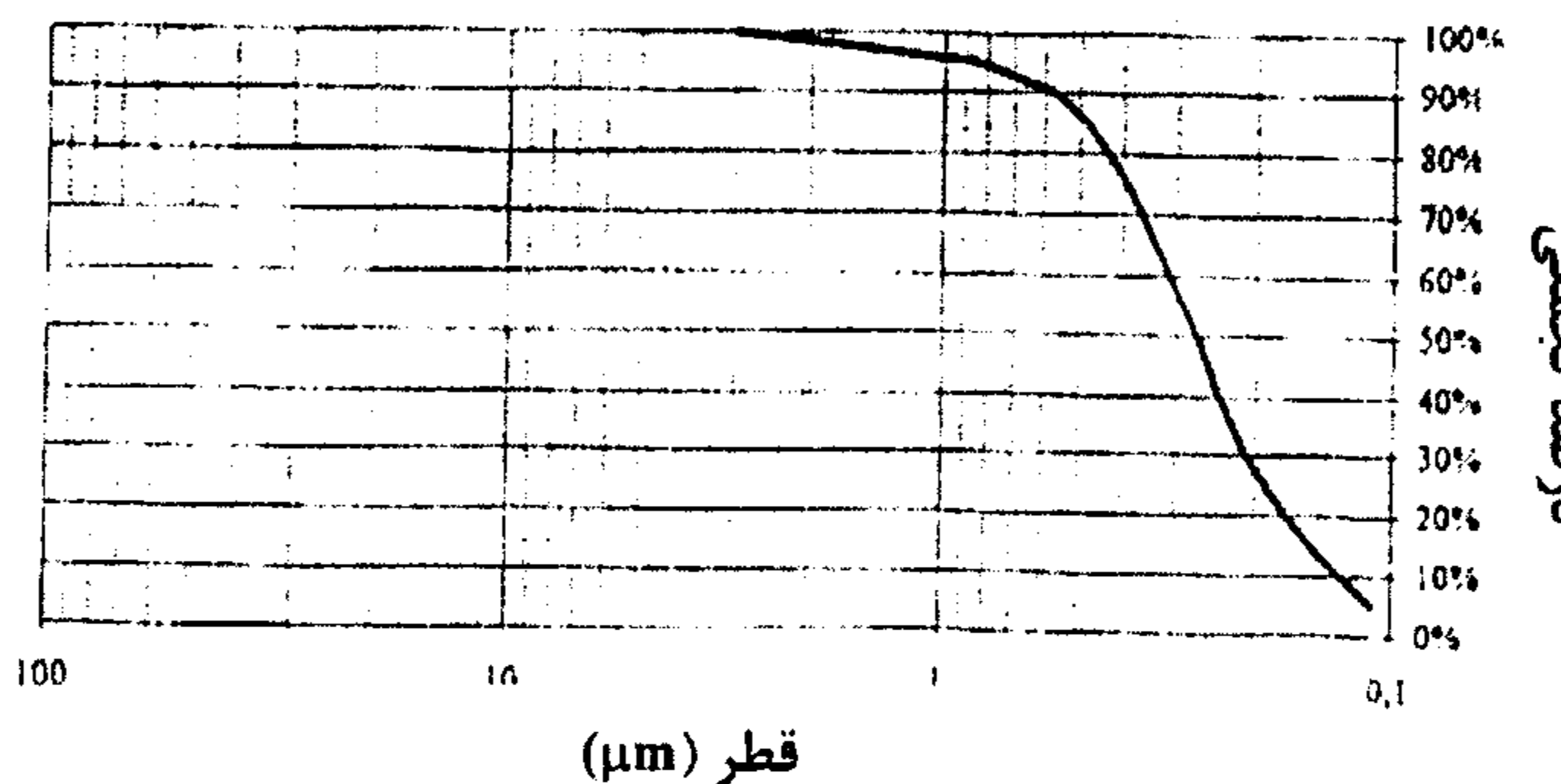
که در آن t زمان لحظه ای زینترینگ، $D(t)$: دانسیته نسبی، D_0 و K ثوابت تراکم پذیری ماده بوده و مقدار آنها به شرایط زینترینگ (دما، زمان، تنفس و ...)، ترکیب شیمیایی پودر مورد استفاده و مکانیزم حاکم بر فرایند زینترینگ بستگی دارد. به همین دلیل است که مقادیر این دو پارامتر در مراحل مختلف زینترینگ متفاوت است. با اعمال فشار ایزوستاتیکی^۱ یا تنفس محوری^۲ بر روی مجموعه پودر مورد زینترینگ مکانیزم های تراکم پذیری سرعت و شتاب بیشتری بخود میگیرند. بطور کلی سه نوع تنفس در ضمن فرایند زینترینگ دخالت دارند و بر سرعت تراکم پذیری تاثیر پذیرند ۱- کشش سطحی (۷) که در رابطه با سطوح انحنایدار تخلخلها مطرح است و به علت تفاوت انحنا از یک حفره به حفره دیگر یک نیروی محرکه برای عمل زینترینگ محسوب میشود. ۲- فشار داخلی گازهای حبس شده در تخلخلها که مانع بر تراکم پذیری بیشتر میباشد. ۳- تنفس اعمال شده بر مرز دانه ها (p_{eff}) که به علت حضور تخلخلها در مرز دانه ها این تنفس بالاتر از تنفس اعمالی (p_a) میباشد بطوریکه در مراحل اولیه زینترینگ نسبت p_{eff}/p_a تابع نسبت سطح نهایی (A_f) به سطح تماس برای هر دانه (A_j) میباشد [۲]:

$$p_{\text{eff}} = p_a (A_f/A_j) \quad (2)$$

عمولاً مکانیزم های حاکم بر زینترینگ در حضور بار مکانیکی ترکیبی از دو مکانیزم میباشد [۳]: ۱- جابجایی ذرات بواسطه لغزش مرز دانه ای ۲- تغییر در شکل دانه ها بواسطه جریان پلاستیکی یا فرایند نفوذ. مکانیزم اولی فرایند سریعی بوده در حالیکه دومی در فاصله زمانی طولانی تری انجام میگیرد مدلها متفاوتی بر مبنای جریان پلاستیکی یا فرایند نفوذ ارائه شده که از جمله می توان به مدلها نابارو^۳ و هرینگ^۴ اشاره نمود که در آن مرز دانه ها به عنوان یک منبع دهنده جاهای

جدول ۱: ترکیب شیمیایی پودر SM8.

| Fe (ppm) | P (ppm) | %N | %C | عنصر |
|----------|---------|------|------|-------|
| ۱۷۵ | ۸۰۰ | ۰/۲۵ | ۱/۳۱ | مقدار |

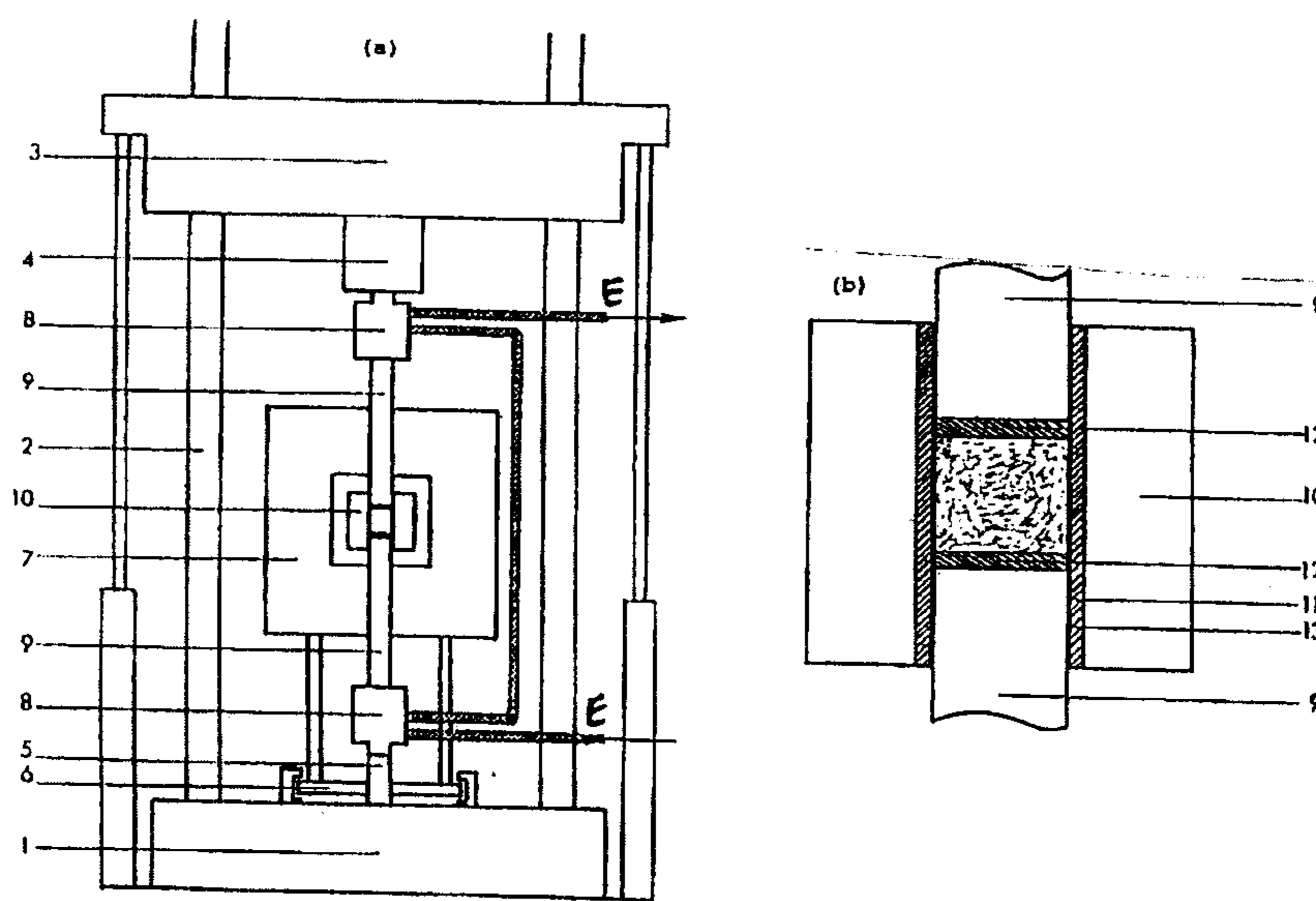


شکل ۱: توزیع دانه بندی برای پودر معرفی شده در جدول ۱.

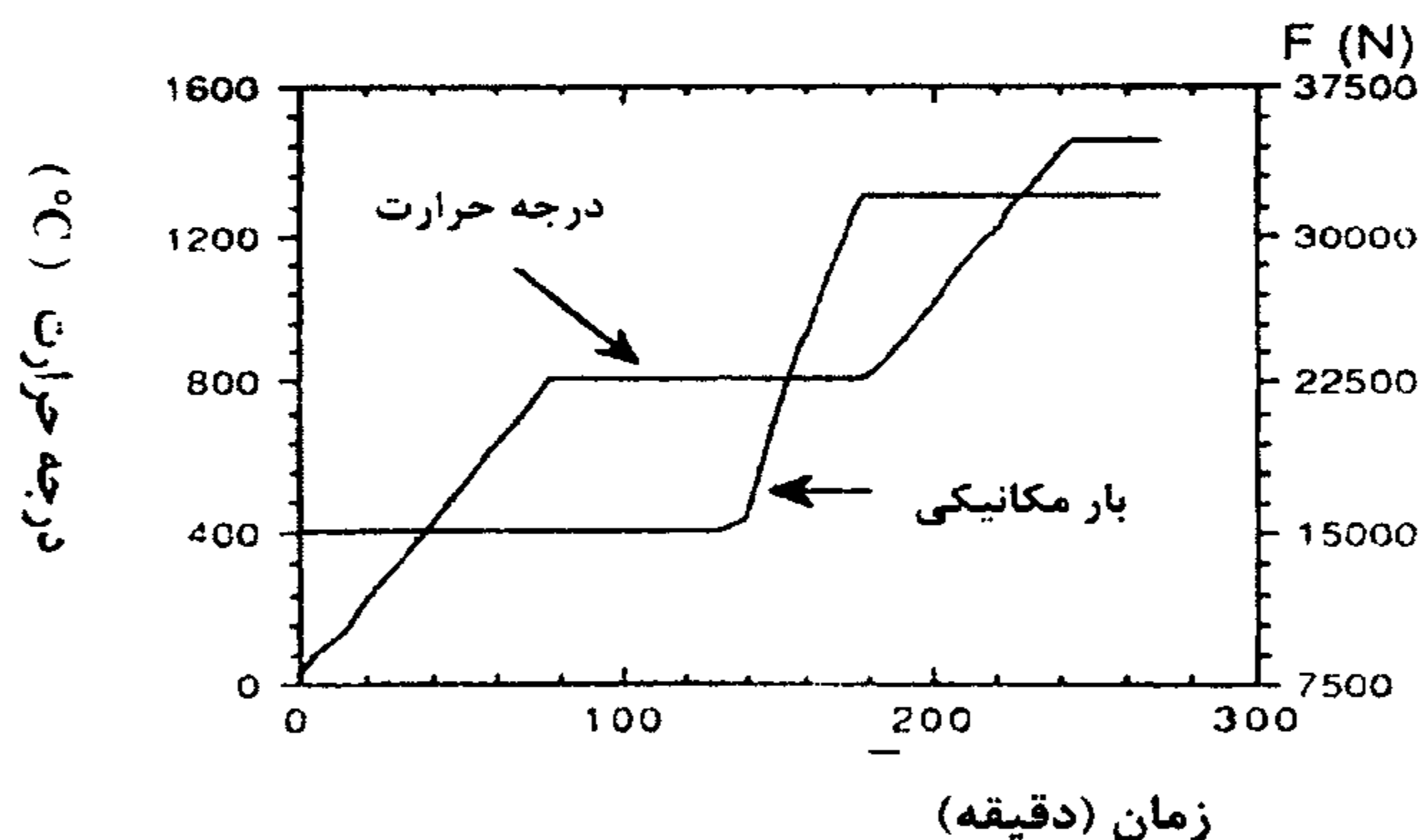
روش تحقیق مواد اولیه

تمام عملیات زینترینگ تحت بار با استفاده از یک دستگاه متشکل از کوره سنتور^۱ با مقاومت گرافیتی و دمای ماکزیمم 2200°C و سیستم الکترومکانیک اعمال نیرو از نوع اینسترون^{۱۱} با بار ماکزیمم ۲۰ تن انجام گرفته است (شکل ۲a). در این سیستم پودر مورد نظر در یک سیستم بسته متشکل از دو پیستون و قالب استوانه ای از جنس گرافیتی جای میگیرد (شکل ۲b). در این مطالعه یک برنامه سیکل حرارتی مشابهی تحت خلا: $\text{torr}^{-5} \times 10^{-1}$ و تحت فشار مکانیکی 45 MPa برای تمام نمونه ها مطابق شکل ۳ عمل شده است. بطوریکه مشاهده میشود ابتدا یک سیکل ایزوترم 800°C جهت عمل گازدایی پودر و سپس سیکل ایزوترم اصلی در 1450°C بمدت ۳۰ دقیقه اعمال گردیده است. سیکل حرارتی مشابهی منتهی بدون حضور پودر جهت تعیین میزان انبساط پیستون و قالب و حذف آن از تغییرات جابجایی پیستون بالایی در هنگام زینترینگ پودر انجام گرفته است. لازم به ذکر است که پیستون پایینی ثابت بوده و جابجایی پیستون بالایی است که میزان حرکت آن به سمت پایین معیار تراکم پذیری می باشد.

پودر مورد استفاده آلومینی تجاری^۱ با خلوص بالا (۹۹٪) بوده که شامل 500 PPM وزنی اکسید منیزیم می باشد. ترکیب شیمیایی و توزیع دانه بندی این پودر مطابق با انجه شرکت مورد سفارش ارائه داده در جدول و شکل (۱) امده است. با توجه به انها می توان به خلوص بالا و سطح ویژه بالای آن ($10 \text{ m}^2/\text{g}$) و همینطور توزیع دانه بندی نسبتاً باریک آن پی برد. و طبق ویژگیهای ارائه شده از طرف شرکت المانی بکووسکی^۱ این پودر تحت فرایند اتمیزاسیون^۹ جهت آگلومره زدایی و همگنی در شکل و اندازه ذرات (ذرات ریز و کروی) قرار گرفته و در طی این فرایند از مواد افزودنی آلی استفاده شده که توجیه کننده درصد قابل توجه کردن در پودر میباشد. لازم به ذکر است که یک عملیات حرارتی جهت حذف مواد الی در یک اتمسفر معمولی بر روی این پودر انجام گرفته است و اనالیز داده شده در جدول (۱) مربوط به محصول این مرحله می باشد.



شکل ۲: شمای کوره زینترینگ تحت فشار (Hot-pressing): ۱- پایه ثبیت کننده، ۲- قسمت متحرک سیستم، ۴- سلول اندازه گیری نیرو، ۷- کوره، ۸- حامل پیستون، ۹- پیستون گرافیتی، ۱۰- محفظه گرافیتی استوانه ای، ۱۱- لوله مخروطی استوانه ای، ۱۲- قرصهای نازک گرافیتی، ۱۳- ورقه گرافیتی بعنوان استر لوله مخروطی E: اب جهت خنک نمودن.



شکل ۳: شمای سیکل پخت تحت بار برای یک قالب با قطر ۳۷ میلیمتر.

$$D_s = D_{ref} m_r (m_1 - m_r) / [m_1 (m_r - m_4)]$$

D_s : دانسیته نمونه مورد نظر

D_{ref} : دانسیته نمونه مرجع

m_1 : جرم نمونه مرجع در هوا

m_2 : جرم نمونه مرجع در الكل

m_3 : جرم نمونه مورد نظر در هوا

m_4 : جرم نمونه مورد نظر در الكل

ندازه گیری دانسیته

دانسیته نمونه ها زینتر شده با استفاده از روش ارشمیدس تعیین شد و در آن از الكل متیلیک بعنوان مایع غوطه وری استفاده گردید و یک نمونه آلومینی امنوکریستال بعنوان نمونه مرجع جهت کنترل دانسیته الكل در دمای مربوطه مورد استفاده قرار گرفت. بعد از اندازه گیریهای لازم مقادیر دانسیته از رابطه زیر محاسبه شده اند [۲]:

جدول ۲: نتایج مربوط به ازمایشات مختلف بازپخت.

| بازپخت | | | | | | زینترینگ | |
|-------------------|--------------------------|-------------------|-------------|-------------|-----------------------------|-----------------------------|-------------------------------------|
| ۱۴۰۰ + ۱۴۰۰ | ۱۴۰۰ | ۱۴۰۰ + ۱۴۰۰ | ۱۴۰۰ | ۱۴۰۰ | ۱۴۰۰ | ۱۴۵۰ | درجه حرارت (سانتی گراد) |
| هوای اکسیژن | فشار اکسیژن کنترل شده | هوای خلا | هوای خلا | هوای خلا | خلا: 10^{-5} Torr | خلا: 10^{-5} Torr | اتمسفر |
| ۴/۵ + ۴/۵ | ۴/۵ | ۴/۵ + ۴/۵ | ۱/۵ | ۴/۵ | ۴/۵ | ۰/۵ | زمان (ساعت) |
| - | - | ۲۴۰ | - | ۱۷۹ | ۲۳۵ | ۲۲۴ | تعداد دانه |
| - | - | ۱/۰۶ | - | ۱/۰۴ | ۰/۶۶ | ۰/۶۶ | اندازه دانه (میکرون) |
| ۳/۶۳ | ۳/۹۷ | ۳/۶۸۶ | ۳/۸۷ | ۳/۶۹۹ | ۳/۹۹ | ۳/۹۹۵ | دانسیته گرم بر سانتی مترمکعب) |
| خاکستری | خاکستوی | خاکستوی | سفید | سفید | سیاه | سیاه | رنگ |
| ۰/۰ | ۰/۰ | ۰/۰ | ۰/۲ | ۰/۴۵ | ۰/۰ | ۰/۰ | ضخامت پوسته سفید (میلیمتر) |

T: torre (واحد فشنار)

نازک کربن یا طلا توسط دستگاه اسپری بخار از نوع BALZERS, SCD, 040 مورد مشاهدات JEOL, JSM, LGS: Philips XL20 قرار گرفتند.

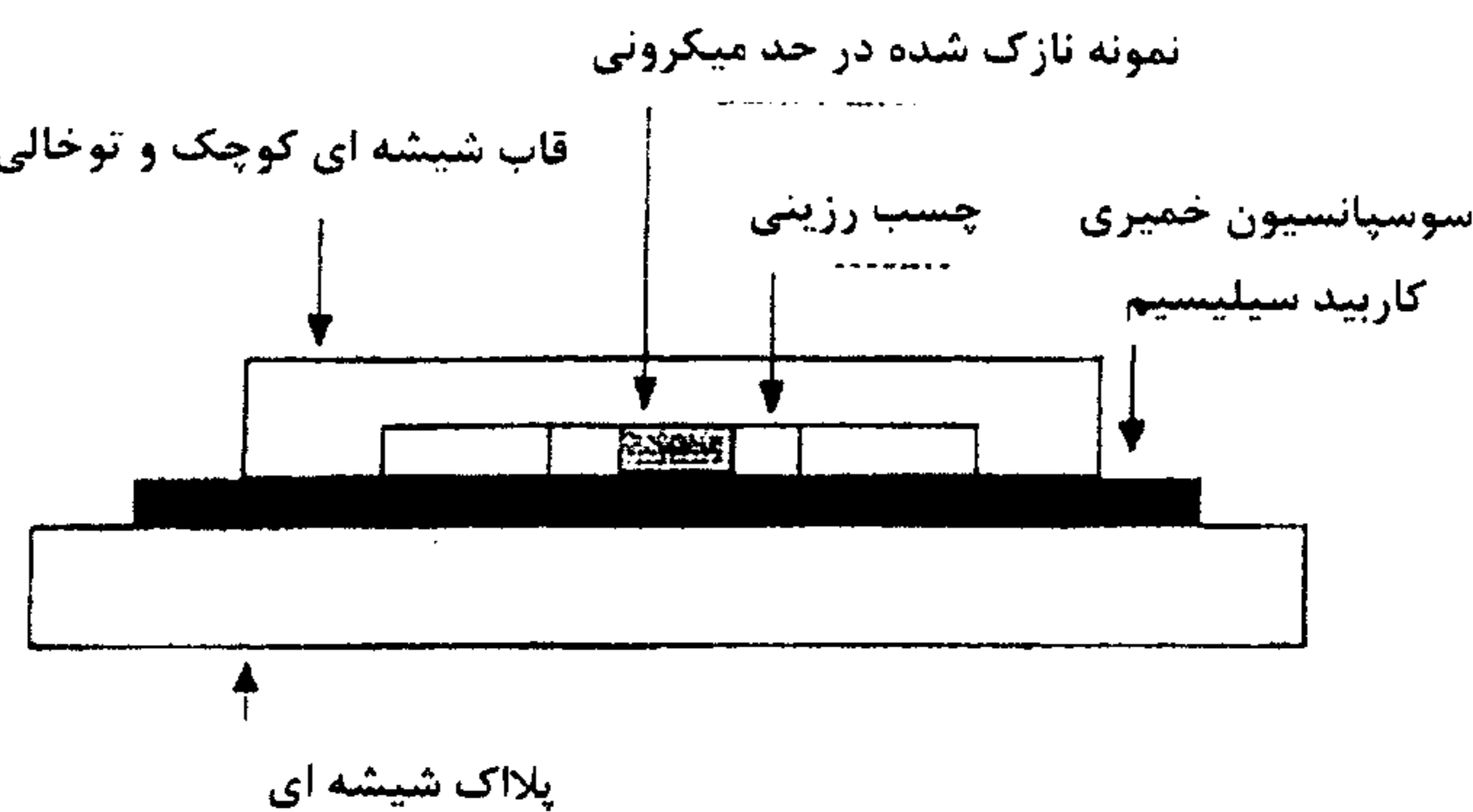
عبوری^{۱۳}

آماده سازی نمونه ها: ابتدا مقاطع نازکی به ضخامت 0.5 mm برش داده شده (در راستای موازی با محور فشار اعمالی در زینترینگ تحت بار) و به دنبال آن با ساییدن ضخامت به حد میکرونی $50-30 \mu\text{m}$ میرسد. در مرحله بعدی نمونه در داخل حفره ای به عمق $30 \mu\text{m}$ که بر روی پلاک شیشه ای ایجاد شده با نوعی چسب رزینی محکم میشود و عمل سایش بر روی یک سطح شیشه ای اغشته به سوسپانسیونی از ذرات ساینده کربور سیلیسیم به قطر $3 \mu\text{m}$ ادامه می یابد (شکل ۴).

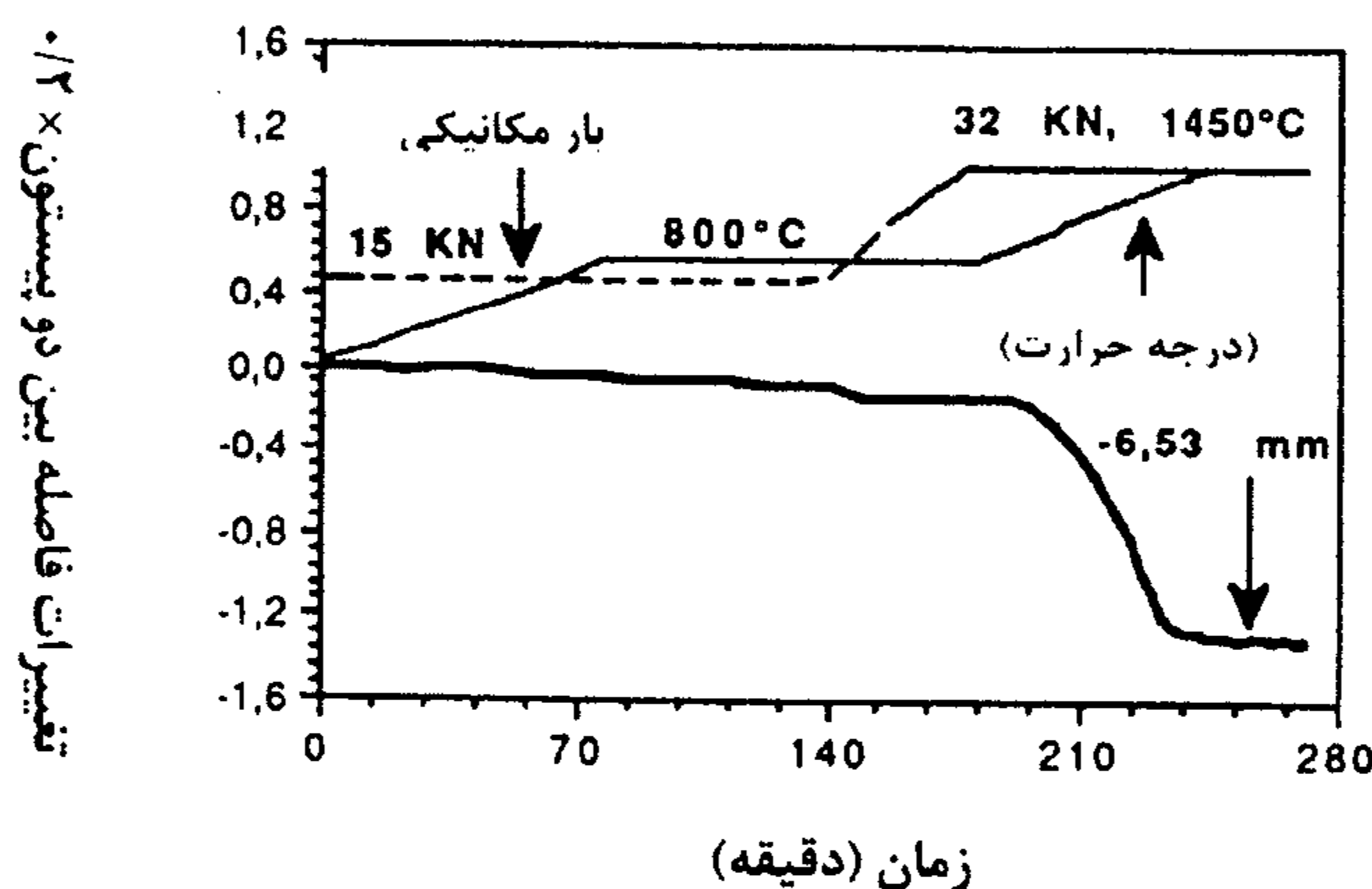
آنل یا بازپخت نمونه ها جهت مشاهدات میکروسکوپی لازم بود حکاکی حرارتی یا عمل بازپخت بر روی نمونه های ترجیحا پولیش شده انجام گیرد. این عملیات حرارتی در دمای 1400°C و در اتمسفر های مختلف هوای تحت خلا و فشار اکسیژن کنترل شده انجام گرفت. برای اتمسفر هوای بازپخت در دو مدت زمان ۹۰ و ۲۷۰ دقیقه انجام گرفت. برای هر سیکل بازپخت یک نمونه منوکریستال آلومینا در کنار نمونه زینتر شده جهت مقایسه استفاده گردید. شرایط مختلف بازپخت و نتایج مربوط به آنها در جدول (۲) آمده اند.

مشاهدات میکروسکوپی جاروبی^{۱۴}

نمونه های بازپخت شده بعد از ایجاد یک پوشش



شکل ۴: پلاک شیشه‌ای جهت سایش نمونه‌های میکروسکوپی الکترونی عبوری.



شکل ۵: تغییرات فاصله بین دو پیستون در ضمن زیترینگ تحت بار به عنوان تابعی از زمان، درجه حرارت و بار مکانیکی.

دانه‌ها را بصورت زیر محاسبه مینماییم [۶]:

$$A = A_0 \times 10^8 / [(GG_0)^2 N] \quad (7)$$

A_0 : مساحت کل مجموعه G : بزرگنمایی مطابق با فیلم نگاتیو G_0 : بزرگنمایی عکس چاپ شده نسبت به فیلم نگاتیو.

با فرض اینکه اکثربت دانه‌ها کروی باشند قطر متوسط دانه‌ها از رابطه زیر محاسبه مشود

$$d = 1.38 A^{0.5} \quad (8)$$

در مرحله نهایی نمونه در داخل دستگاه سایش توسط بمباران یونی 14 با پتانسیل بالای ۵ کیلو ولت قرار گرفته و عمل نازک شدن تا ایجاد سوراخ در مرکز نمونه به قطر 0.1 mm ادامه می‌یابد. در نهایت با ایجاد یک پوشش نازک کربنی مشاهدات میکروسکوپی در محدوده بزرگنمایی 5000 الی 10000 توسط میکروسکوپی الکترونی عبوری از نوع JEOL 200 CX انجام گرفت.

تعیین قطر متوسط دانه‌ها

با کنار هم قرار دادن عکسهای مربوط به ریز ساختار دانه‌ای برای چند نقطه مجاور مجموعه ای بهم پیوسته از $300-400$ دانه را تشکیل داده و سطح متوسط

های دانه را کاهش داده و در مقابل تحرک پذیری تخلخلها را افزایش میدهد [۴]. تخلخلها بتدريج در ضمن فرایند زينترینگ جذب مرز های دانه ميشوند عاملی که میتواند الومینا را به دانسيته ثئوري نزديك نماید بدون اينکه رشد دانه ای غير نرمالی در ساختار مشاهده شود.

تغییرات رنگ و دانسيته نمونه های زينتر شده قبل و بعد از بازپخت

اکثریت نمونه ها بعد از پخت تغيير رنگ داده و از خاکستری تا سیاه تغيير میکند در حالیکه پودر اولیه سفید رنگ است دلایل زیر میتواند توجيه کننده اين پدیده باشد.

۱- حضور حدود $1/3\%$ کربن در پودر اولیه بصورت ترکیبات آلی بعنوان ناخالصی و تجزیه ان به گرافیت در اتمسفر خلاء

۲- وجود اتمسفر خلاء در طول عملیات زينترینگ عاملی برای ایجاد جاهای خالی زياد بعنوان عيوب نقطه ای بوده چرا که ناخالصیهای فلزی فرار چون Zn, Mg, Ti, ... دارد [۷].

۳- به علت تماس سطوح پودر با دیواره های قالب، ورق و قرصهای گرافیتی امكان نفوذ کربن و آلوده شدن پودر وجود دارد. در اين مورد برای رفع اين مشكل يك لایه نازک از نیترید بر روی سطوح اسپری شده تا از هر گونه واکنش بین الومینا و کربن جلوگیری نماید [۸].

رنگ نمونه ها بعد از عملیات باز پخت مجدداً به رنگ سفید تغيير می یابد که شدت آن به دما و زمان باز پخت بستگی دارد. اين تغيير رنگ را میتوان به اکسید شدن کربن بواسطه اتمسفر هوا نسبت داد که فاكتور کنترل کننده سرعت نفوذ اکسیژن به داخل نمونه میباشد. با توجه به داده های بدست آمده در آزمایشات مختلف بازپخت (جدول ۲) به نظر مiresد که بین تغييرات ضخامت پوسته سفید رنگ تشکيل شده بر روی سطح نمونه (X) و زمان (t) و ضریب دیفوزیون (D) رابطه زیر برقرار است:

$$X^2 = 2Dt$$

(۱۳)

نتایج و بحث

منحنی های تراکم پذیری

بر اساس ثبت داده های جابجايی لحظه ای پیستون بعنوان تابعی از دما و فشار در ضمن فرایند زينترینگ توسط سیستم انفورماتیک سیستم و با در نظر گرفتن انبساط قالب و پیستونهای گرافیتی (شکل ۵) میتوان دانسيته نمونه ای به قطر D را در هر لحظه مطابق با رابطه ۹ محاسبه نمود:

$$D(t) = m / [(\Pi d^2 / 4) \cdot h_t] \quad (9)$$

که در آن h_t به عنوان ارتفاع نمونه در هر لحظه به صورت زیر تعریف میشود:

$$h_t = (\Delta h_{max} - \Delta h) + h_f \quad (10)$$

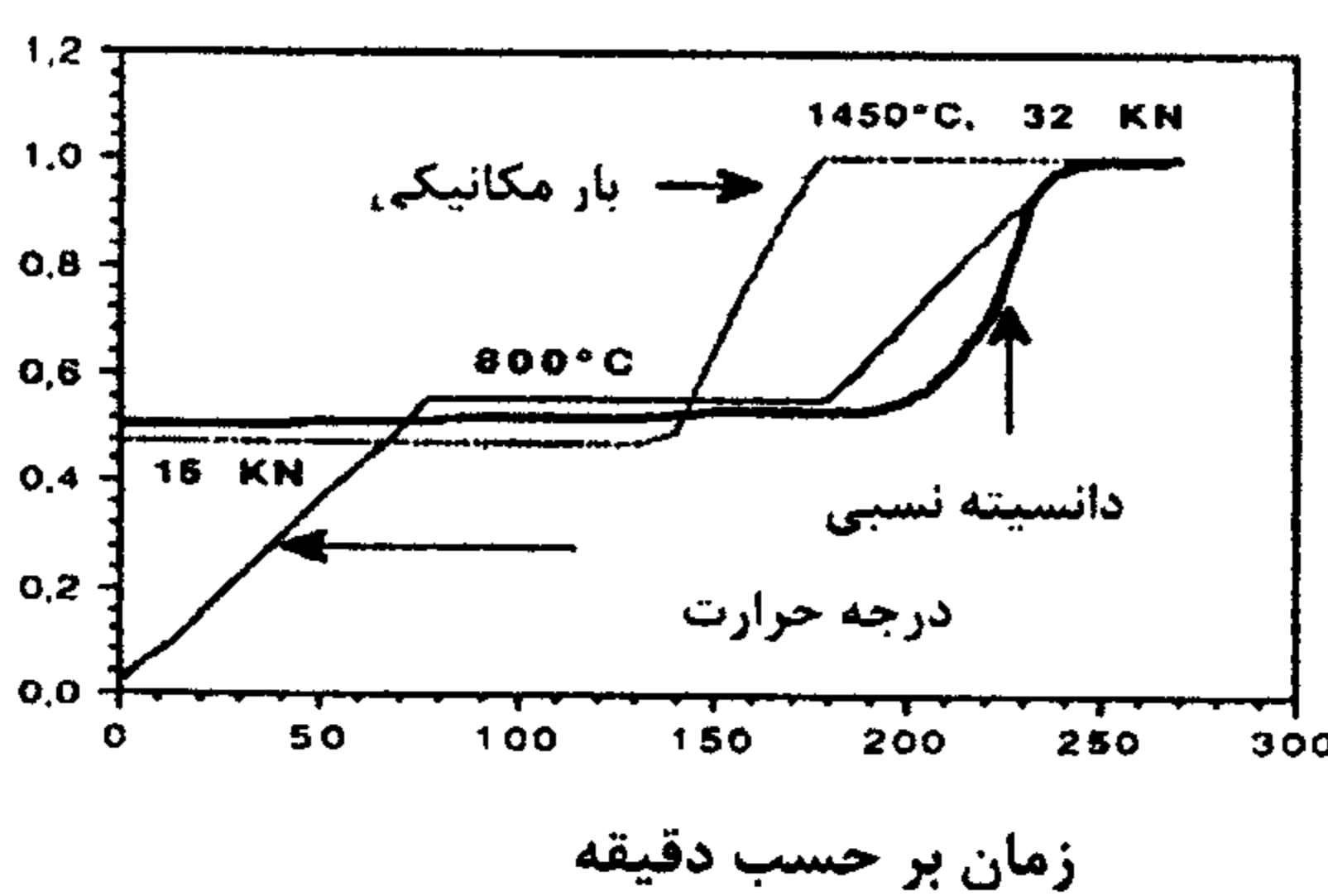
h_f : ضخامت نهايی نمونه، Δh : فاصله بين دو پیستون در هر لحظه که بطور اتوماتیک توسط سیستم کنترل میشود، Δh_{max} : ماکزیمم فاصله بين دو پیستون. در شروع زينترینگ با بدست اوردن دانسيته نهايی نمونه (رابطه ۱۱) دانسيته نسبی در هر لحظه از رابطه ۱۲ محاسبه میشود که نتایج آن در شکل (۶) امده است.

$$D(f) = m / [(\Pi d^2 / 4) \cdot h_f] : \quad (11)$$

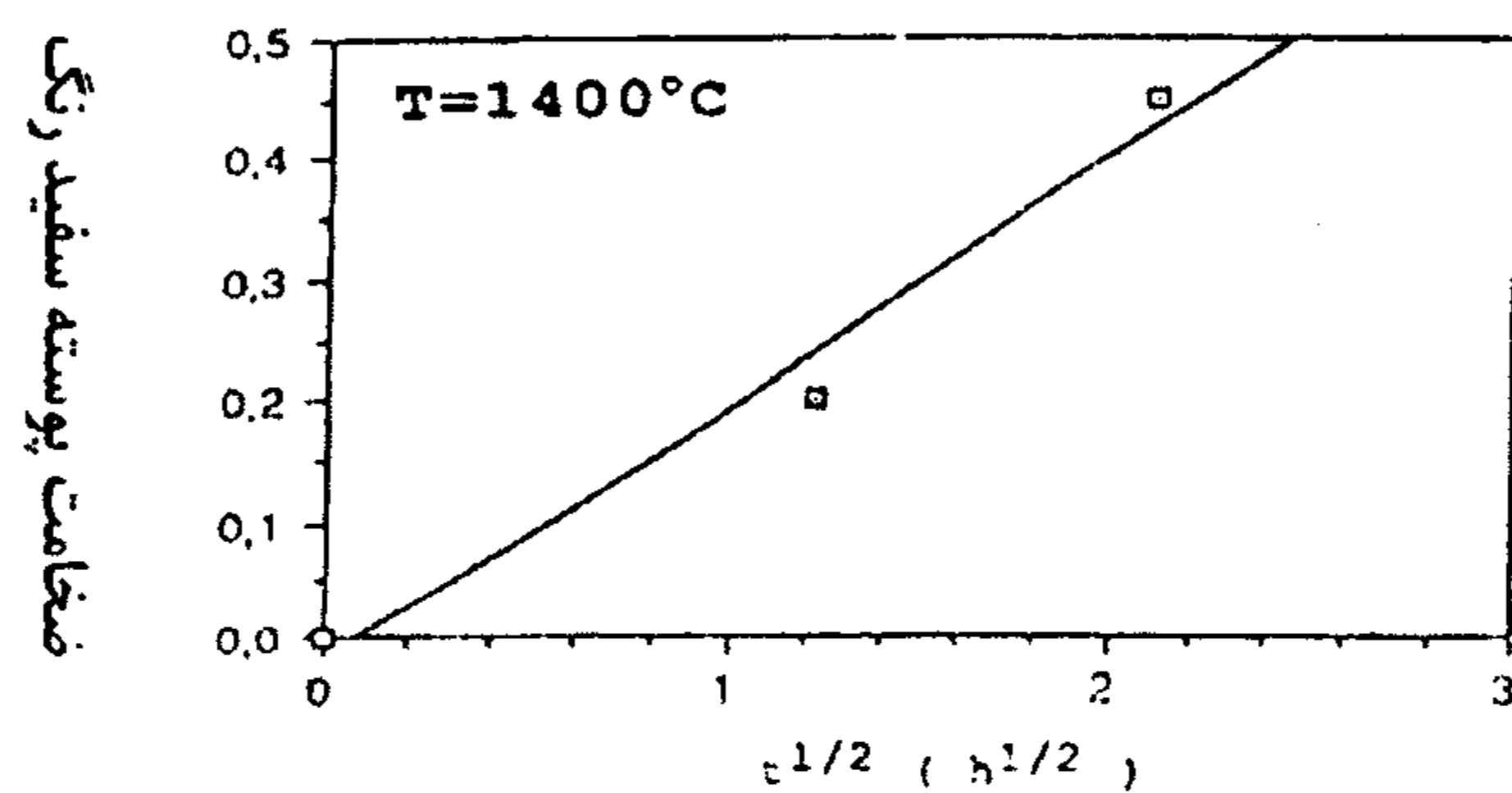
d : قطر نمونه که ثابت است
 m : جرم پودر مورد استفاده

$$D(t) / D(f) = h_f / h_t = D_r \quad (12)$$

D_r : دانسيته نسبی در هر لحظه با توجه به منحنی تراکم پذیری الومینا میتوان دید که دانسيته نهايی نمونه زينتر شده به دانسيته ثئوري خيلي نزديك است. مشاهدات میکروسکوپی نيز ساختاري متراكم و همگن را نشان ميدهد (شکل ۶). در اتمسفر خلاء می توان فرض نمود که گاز حبس شده در تخلخلها وجود نداشته و بنابر اين تراکم پذیری میتواند تا بسته شدن كامل يك حفره يا تخلخل پيش رود. از طرف ديگر حضور MgO در داخل پودر نيز نقش موثری در رسيدن الومینا به دانسيته ثئوري دارد چرا که MgO تحرک پذیری مرز



شکل ۶: تغییرات دانسیته نسبی در ضمن زیترینگ تحت بار به عنوان تابعی از زمان، درجه حرارت و بار مکانیکی.



شکل ۷: تغییرات ضخامت پوسته بر حسب محدود زمان.



شکل ۸: تصویر میکروسکوپی الکترونی SEM برای نمونه باز پخت شده در هوا.

توجیهی را میتوان بصورت زیر عنوان نمود:

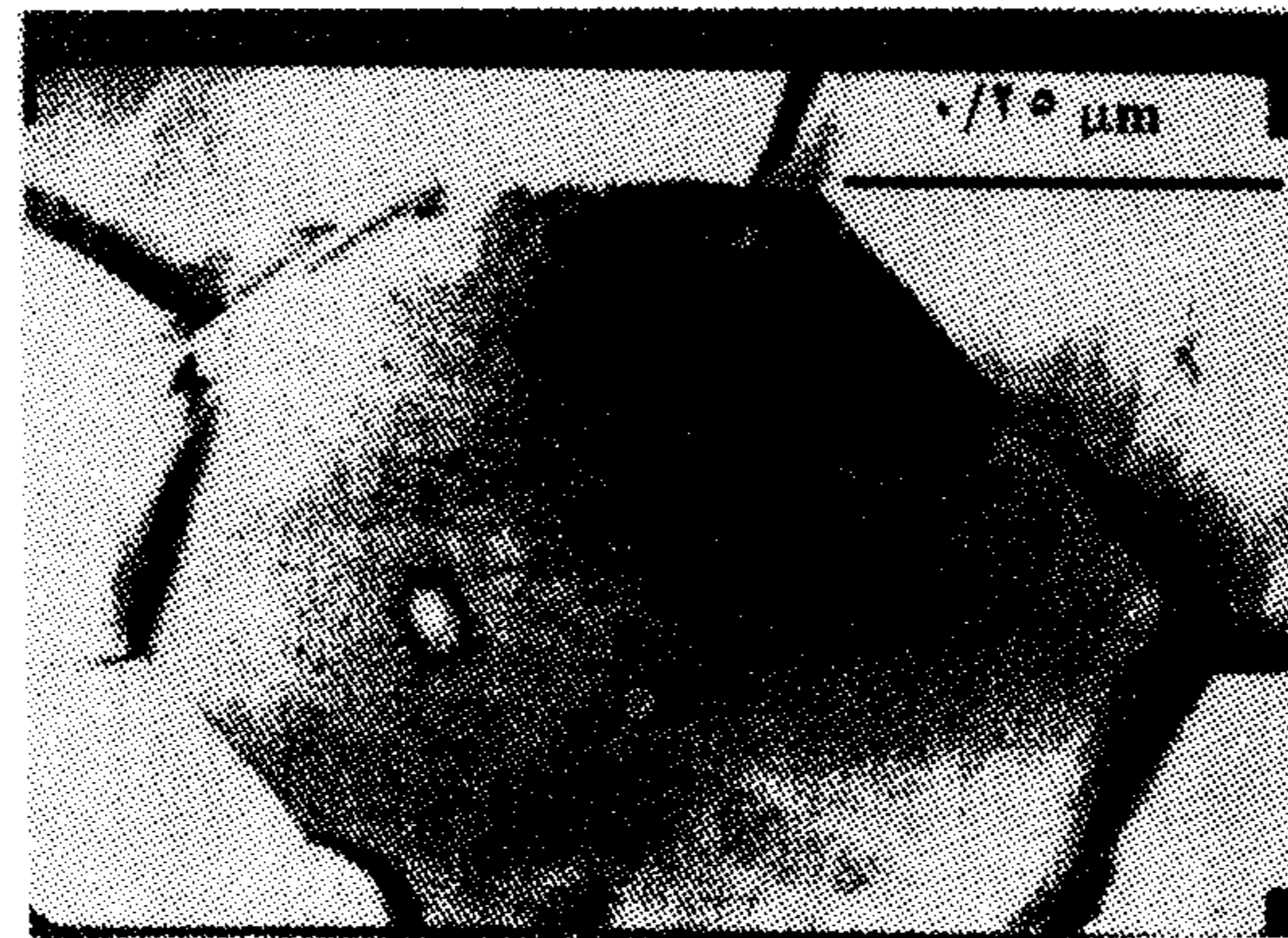
- ۱- اکسیژن با مصرف کربن و تولید CO حبابهای متورمی در نمونه ایجاد می نماید که تصویر میکروسکوپی شکل (۸) این اثر را در داخل دانه های کریستالی نشان میدهد
- ۲- وجود آنیزوتropی در رشد دانه ها نیز میتواند مسئول ایجاد حفره زایی در مرز دانه ها باشد [۹].

شکل (۷) خطی بودن تغییرات ضخامت پوسته بر حسب $t^{1/2}$ را نشان میدهد. برای نمونه های باز پخت شده تحت خلاء تغییر رنگی مشاهده نشد چرا که اکسیداسیون کربن رخ نمیدهد.

با توجه به جدول (۲) دیده میشود که مقادیر دانسیته برای نمونه ها بعد از بازپخت در هوا (جدول ۲) نسبت به مقادیر دانسیته پخت کاهش یافته است. دلایل



شکل ۹: تصویر میکروسکوپی الکترونی SEM برای نمونه باز پخت شده تحت خلا.



شکل ۱۰: تصویر میکروسکوپی الکترونی TEM برای نمونه باز پخت شده در هوا که بخوبی رسوبات نقطه ای کربنی را در داخل دانه ها نشان می دهد.

تخلخلها کنترل شده و بستگی به ضریب دیفوزیون سطحی آنها دارد [۱۰]:

$$\frac{dG}{dt} = D_s G^{\frac{1}{3}} (1-p)^{\frac{4}{3}} \quad (14)$$

D_s : ضریب دیفوزیون سطحی تخلخلها، p : دانسیته نسبی، G : اندازه دانه

بازپخت تحت اتمسفر هوا موجب اکسیداسیون کربن و بدنبال آن افزایش تخلخل میگردد از طرف دیگر بواسطه حضور MgO افزایش D_s را داریم [۴] نتیجتاً زمینه مساعدی برای رشد دانه فراهم میشود همانطور که مشاهدات میکروسکوپ الکترونی آن را نشان میدهد.

برای بازپخت تحت خلا، تغییرات دانسیته ای مشاهده نشد و تصاویر میکروسکوپی نیز هیچگونه تخلخلی را نشان نمیدهند و ساختار دانه ای متراکم باقی میماند (شکل ۹).

مرفولوژی و اندازه دانه ها
تغییراتی در اندازه و یا شکل دانه ها برای نمونه های بازپخت شده تحت خلا مشاهده ننمودیم که میتواند مربوط به باقی ماندن گرافیت در داخل نمونه بصورت نقاط رسوبی پراکنده در داخل دانه ها و یا مرز دانه ها باشد همانطور که تصاویر میکروسکوپی آن را نشان میدهد (شکل ۱۰) و این ذرات رسوبی نقش ممانعت در برابر حرکت مرز دانه ها را دارند.

سرعت رشد دانه در ضمن زینتریزینگ معمولاً بوسیله

نتیجه گیری کلی

- در کند شدن سرعت رشد دانه ها دارد.
- ۲- تخلخلها که عامل کنترل کننده رشد دانه در مرحله آخر زینترینگ بوده قبل از حذف شده اند.
- ۳- محیط خلا باعث شده تا MgO نقش مثبتی در جهت جلوگیری از رشد دانه ایفا نماید.
- نتیجتاً اینکه پخت تحت بار و تحت اتمسفر خلا امکان تهیه موادی با دانسیته نزدیک به تئوری و در عین حال دارای ساختار دانه ای ریز و همگن را امکان پذیر می سازد. بازپخت نمونه ها در محیط با فشار اکسیژن کنترل شده و تحت خلا بخوبی نقش اتمسفر بر روی دانسیته و رشد دانه را نشان داده و نتایج گفته شده در بالا را مورد تایید قرار میدهد.

با توجه به مجموعه نتایج میتوان گفت که نوع اتمسفر نقش مهمی بر روی دانسیته و ساختار دانه ای ایجاد شده در ضمن فرایند پخت و بازپخت دارد. اول از همه اینکه فرایند زینترینگ تحت خلاء دستیابی به دانسیته نزدیک به تئوری بواسطه عدم حضور گاز در داخل تخلخلها را تضمین مینماید و از طرف دیگر محیط خلا نقش مثبتی در جهت جلوگیری از رشد دانه را دارد، که میتواند به دلایل زیر باشد:

- ۱- وجود ۱/۵٪ کربن در پودر اولیه یا نفوذ کربن از سیستم ماشین زینترینگ به نمونه باعث ظهور رسوبات نقطه ای و پراکنده در نمونه آلومینا شده که نقش مهمی

مراجع

- 1 - Vieira, J. M. and Brook, R. J. (1983). "Kinetic of hot pressing: Semilogarithmic law." *J. Am. Ceram. Soc.*, Vol. 67, PP. 245-49.
- 2 - Beere, W. (1975). "Diffusional flow and hot-pressing: A study on MgO." *J. mater. Sci.*, Vol. 10, PP. 1434-40.
- 3 - Coble, R. L. (1970). "Diffusion models for hot-pressing with surface energy and pressure effects as driving force." *J. Appl. Phys.*, Vol. 41, PP. 4798-807.
- 4 - Berry, K. A. and Harmer, M. P. (1986). "Effect of MgO solute on microstructure development in Al₂O₃." *J. Am. Ceram. Soc.*, Vol. 69, PP. 143-49.
- 5 - Bae, S. I. and Baik, S. (1994). "Critical concentration of MgO for the prevention of abnormal grain growth in Al₂O₃." *J. Am. Ceram. Soc.*, Vol. 77, PP. 2499-504.
- 6 - Sato, E. and Carry, C. (1993). "Effect of yttrium doping on sintering of fine grained alumina." *Third Euro-Ceramic*, VOI. 1, PP. 691-696.
- 7 - Gerard-Hirne, J. (1986). "Introduction a l'étude du frittage." *Conférence sur le frittage par l'industrie céramique française*, EDS: L'industrie Ceramique, PP. 1-9.
- 8 - Harmer, M. P. and Brook, R. J. (1980). "The effect of MgO addition on the kinetics of hot pressing in Al₂O₃." *J. Mater. Sci.*, Vol. 15, PP. 3017-24.
- 9 - Rodl, J. and Glaeser, A. M. (1990) "Anisotropy of grain growth in alumina." *J. Am. Ceram. Soc.*, Vol. 73, PP. 3292-301.
- 10 - Bennison, S. J. and Harmer, M. P. (1985). "Grain growth kinetics for alumina in the absence of a liquid phase." *J. Am. Ceram. Soc.*, Vol. 68, C-22-C-24.

واژه های انگلیسی به ترتیب استفاده در متن

- | | | |
|--|-------------------|--|
| 1 - Hot-isostatic pressing | 2 - Hot-pressing | 3 - Nabarro |
| 4 - Herring | 5 - Toughness | 6 - Superplasticity |
| 7 - Thermal etching | 8 - Baikovski SM8 | 9 - Atomisation |
| 10 - Centorr | 11 - Instron | 12 - SEM: scanning electron microscope |
| 13 - TEM: Transmission Electron Microscope | | |
| 14 - Thinning bombardment (Gatan) | | |